

Модель дельта-слоя для границы плазменной полости, возбуждаемой в плазменном канале электронным сгустком или лазерным импульсом

Й.Томас, А.А.Голованов, И.Ю.Костюков, А.М.Пухов

Представлена аналитическая модель плазменной полости, возбуждаемой релятивистским электронным сгустком или мощным лазерным импульсом, движущимся в плазме, с учетом ограничивающей плазменную полость тонкого электронного слоя (дельта-слоя). Показано, что при расчете ускоряющих и фокусирующих полей электронный слой на границе полости можно рассматривать как двумерный и состоящий из поверхностных зарядов и токов, если его толщина достаточно мала. Проведено сравнение данной модели с моделью полости с конечной толщиной электронного слоя и показано, что область параметров, при которой наша модель справедлива, мала по сравнению с областью, где влияние конечной толщины существенно. С другой стороны, предлагаемая модель, являясь наиболее простой моделью плазменной полости в поперечно-неоднородной плазме, позволяет осуществить переход к модели с конечной толщиной электронного слоя путем изменения масштаба координат.

Ключевые слова: кильватерное ускорение, сильно нелинейный режим.

1. Введение

Основными методами ускорения электронов в плазменной кильватерной волне являются ускорение в лазерном кильватере (laser wake-field acceleration, LWFA) [1] и ускорение в плазменном кильватере (plasma wake-field acceleration, PWFA) [2]. Наиболее эффективный режим лазерно-плазменного ускорения – это так называемый режим плазменной полости [3]. В этом режиме интенсивность лазера достаточно велика, что позволяет вытолкнуть все электроны плазмы из первого полупериода плазменной волны. При использовании метода PWFA также возможен режим плазменной полости, который достигается в случае плотного релятивистского электронного сгустка [4]. В обоих методах кильватерная волна, свободная от электронов и называемая плазменной полостью, окружает драйвер (сгусток или лазерный импульс, возбуждающий волну), движущийся с околосветовой скоростью сквозь плазму [5].

Ключевая особенность ускорения в режиме плазменной полости – генерация квазиодноэнергетичных электронных сгустков [6, 7], для которой необходимо подобрать правильную конфигурацию драйвера. Для достижения этой цели основными направлениями теоретического подхода являлась разработка аналитических моделей [8] и вывод законов подобия [9, 10], которые широко протестированы при трехмерном моделировании методом «частиц в ячейках» (particle-in-cell, PIC) [11]. До не-

давнего времени исследовалась лишь однородная фоновая плазма, но некоторые последние публикации посвящены ускорению электронов в плазме с полым плазменным каналом [8, 12–15]. В них рассмотрены аналитические модели для полей внутри и снаружи плазменной полости в плазме с произвольным радиальным профилем концентраций частиц. К настоящему времени эти модели предсказывают следующие преимущества использования профилированной плазмы: 1) независимый контроль над фокусирующей и ускоряющей силами [12]; 2) возможность регулирования длины истощения лазерного импульса и длины дефазировки, позволяющая улучшить прирост энергии электронов [13]; 3) добавление новых степеней свободы, которые помогают дополнительно регулировать измеряемые величины, такие как разброс по энергии частиц в электронном сгустке и доля захваченных частиц [13]; 4) компенсация дефокусировки релятивистского лазерного импульса [6, 16, 17]; 5) возможность инжекции предускоренного электронного сгустка, для которого нет необходимости подбора параметров под сильное фокусирующее поле [8]; 6) возможность инжектирования в плазменную полость электронного сгустка с таким профилем плотности, что он будет ускоряться в однородном продольном электрическом поле, в то время как на него не будет действовать фокусирующая сила (это позволит поддерживать малый эмиттанс и разброс по энергии в случае, если сгусток не достигает стенок [15]).

В некоторых из этих работ, основанных на использовании модели Лю [18], примененной к случаю плазменного канала, получены первые аналитические модели для полей внутри плазменной полости в плазменном канале с произвольным поперечным профилем концентраций. Эти поля зависят от радиуса огибающей плазменной полости r_b (расстояния между электронным слоем и осью драйвера), который определяется достаточно сложным обыкновенным дифференциальным уравнением, зависящим от формы электронного слоя на границе полости. То, каким является профиль электронного слоя – прямо-

J.Thomas, A.M.Pukhov. Institut für Theoretische Physik I, Heinrich-Heine-Universität Düsseldorf, D-40225 Germany

А.А.Голованов, И.Ю.Костюков. Федеральный исследовательский центр Институт прикладной физики РАН, Россия, 603950 Н.Новгород, ул. Ульянова, 46; Нижегородский государственный университет им. Н.И.Лобачевского, Россия, 603950 Н.Новгород, просп. Гагарина, 23; e-mail: agolovanov@appl.sci-nnov.ru, kost@appl.sci-nnov.ru

Поступила в редакцию 6 февраля 2017 г.

угольным [8, 18] или экспоненциальным [19], определяет окружающие полость поля, и это необходимо знать, в частности, при рассмотрении внешней инжекции электронных сгустков.

Во многих предшествующих работах (см., напр., [20, 21]), посвященных случаю однородной плазмы, влияние электронного слоя не учитывалось, в то время как форма полости предполагалась идеально сферической. Первые модели режима плазменной полости получены с использованием этого сильного приближения. В более детальной модели для поперечно-неоднородной плазмы Голованова и др. [14] показано, при каких условиях выбор распределений плотностей тока и зарядов в электронном слое не влияет на форму плазменной полости. В работе [14] также обсуждены области параметров, при которых уравнение для огибающей плазменной полости представимо в простом виде, и показано, что эти области подобны для подобных параметров существенно различных профилей электронного слоя.

Из настоящей работы следует, что одна из областей параметров эквивалентна изначальному предположению о том, что электронный слой имеет нулевую толщину, а плотности тока и заряда в нем могут быть представлены как двумерные распределения поверхностных плотностей. Сравнение с моделью с конечной толщиной электронного слоя показывает, что область параметров, для которых наше приближение справедливо, достаточно мала. Однако изменение масштаба продольной оси позволяет осуществить переход к модели, соответствующей другому предельному случаю плазменной полости, когда электроны в граничном слое являются релятивистскими. Поскольку последняя модель часто находится в хорошем согласии с PIC-моделированием, использование нашей модели в сочетании с изменением масштаба координат позволяет получить наиболее простую модель плазменной полости в плазме с поперечной неоднородностью.

В предлагаемой модели электронный отклик на заданный драйвер, распространяющийся в плазме вдоль продольной оси z , рассматривается в квазистационарном приближении, использование которого обусловлено тем, что все интересующие нас процессы происходят за времена, много меньшие характерного времени эволюции драйвера. Как следствие, мы полагаем, что поля зависят только от $\xi = ct - z$ [22]. В нашей модели координаты нормированы на обратное плазменное волновое число $k_p^{-1} = c/\omega_p$, скорости – на скорость света в вакууме c , заряды – на элементарный заряд $e > 0$, поля – на $E_0 = m_e c \omega_p e$, а время – на ω_p^{-1} . Здесь $\omega_p^2 = 4\pi e^2 n_0 / m_e$ – электронная плазменная частота, n_0 – определенная концентрация, на которую нормированы как электронная концентрация $n_e(r)$, так и ионная плотность заряда $\rho_{ion}(r)$. В частности, удобно предположить, что глубокий канал встроено в однородную плазму. В этом случае в качестве n_0 можно выбрать невозмущенную концентрацию однородной плазмы снаружи канала.

В следующем разделе представлена модель плазменной полости с дельта-слоем в заранее сформированном плазменном канале, после чего полученные результаты сравниваются с результатами в работе [14].

2. Модель дельта-слоя в плазменном канале

При разработке модели дельта-слоя для плазменной полости, возбуждаемой сгустком частиц в глубоком плаз-

менном канале, следуя работе [8], разделим области с высокой концентрацией электронов (драйвер и ускоряемый сгусток) и области внутри полости, свободные от электронов (рис.1). В областях I (красный цвет) и III (черные точки) находятся драйвер и ускоряемый электронный сгусток соответственно. Поля в этих областях могут быть использованы для описания обратного воздействия границы плазменной полости на электронные сгустки и их возможную самомодуляцию. Области II (бледно-красный) и IV (синий) расположены снаружи драйвера и ускоряемого сгустка соответственно. В этих областях ток обих сгустков влияет и на магнитное и на радиальное электрическое поле. Следует отметить, что разработанная нами теория будет также справедлива и в случае лазерного драйвера в областях, где отсутствует лазерный импульс, поскольку форма плазменной полости в сильно нелинейном режиме не зависит от типа драйвера.

Нормированная электронная плотность заряда (тока) в плазменной полости для релятивистских электронных сгустков, безразмерная продольная скорость которых примерно равна единице, записывается в виде

$$\rho_e = J_e = \begin{cases} 0, & \xi < \xi_d; \xi_d + l_d < \xi < \xi_b; \xi > \xi_b + l_b, \\ J_d(\xi, r), & \xi_d < \xi < \xi_d + l_d, r < R_d, \\ 0, & \xi_d < \xi < \xi_d + l_d, r > R_d, \\ J_b(\xi, r), & \xi_b < \xi < \xi_b + l_b, r < R_b, \\ 0, & \xi_b < \xi < \xi_b + l_b, r > R_b, \end{cases} \quad (1)$$

где $\xi_{d,b}$ – координаты передних фронтов драйвера и ускоряемого сгустка соответственно; $l_{d,b}$ и $R_{d,b}$ – их длины и радиусы. Схема плазменной полости, которой соответствует распределение (1), показана на рис.1. Предполагается цилиндрическая симметрия задачи. Если электронный сгусток, возбуждающий полость, имеет бигассово распределение с характерными продольным и

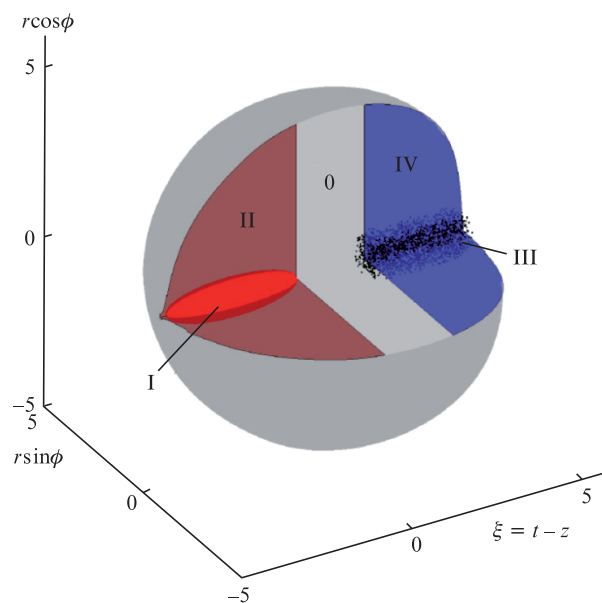


Рис.1. Разбиение плазменной полости на пять областей: область, в которой электронные сгустки отсутствуют (0); область внутри электронного сгустка, возбуждающего полость (драйвера) (I); область снаружи драйвера (II); область (точки) внутри ускоряемого электронного сгустка (III); область снаружи ускоряемого электронного сгустка (IV). Цветное изображение см. на сайте КЭ (<http://www.quantum-electron.ru>).

поперечным размерами σ_z и σ_r соответственно, пределы соответствуют $R_d \approx 3\sigma_r$ и $l_d \approx 3\sigma_z$.

Ионы из-за своей большой массы остаются неподвижными в интересующих нас временных масштабах, в то время как их плотность $\rho_{\text{ion}}(r)$ однородна по оси z . В перпендикулярном к оси z направлении $\rho_{\text{ion}}(r)$ зависит только от радиальной координаты r (расстояния до оси). Распределения плотности тока J_z и плотности заряда ρ разделены на три области: внутренняя часть плазменной полости, граничный слой и область снаружи полости. Поскольку эти плотности и поля равны нулю снаружи полости, ограничимся случаем $r \leq r_b$ и запишем

$$S(\xi, r) = J_z - \rho = s_{\text{ion}}(r) + s_0(\xi)\delta(r - r_b). \quad (2)$$

Этот источник внутри электронного слоя зависит только от ξ , а внутри плазменной полости ($r < r_b$) $S = S(r) = s_{\text{ion}}(r) = -\rho_{\text{ion}}(r)$.

Уравнение непрерывности в цилиндрической геометрии в квазистационарном приближении записывается как

$$\frac{r\partial(\rho - J_z)}{\partial\xi} + \frac{\partial(rJ_r)}{\partial r} = 0$$

и приводит к связи источников на границе плазменной полости и внутри нее:

$$s_0(\xi) = \frac{-c_0 - S_1(r_b(\xi))}{r_b(\xi)}, \quad (3)$$

где c_0 – произвольная постоянная. Здесь мы вводим интегральный источник $S_1(r) = \int_0^r s_{\text{ion}}(r')r'dr'$ и наблюдаем первое отличие от [8, 14], где было необходимо определение относительной толщины границы плазменной полости.

Если потенциалы кильватера выражены в терминах векторного потенциала A и кильватерного потенциала $\Psi = \varphi - A_z$, калибровка Лоренца $\partial(rA_r)/\partial r = -r\partial\Psi/\partial\xi$ позволяет получить нормированные уравнения Пуассона:

$$\frac{1}{r}\frac{\partial}{\partial r}\left(r\frac{\partial A_z}{\partial r}\right) = -J_z, \quad \frac{1}{r}\frac{\partial}{\partial r}\left(r\frac{\partial\Psi}{\partial r}\right) = -\rho + J_z. \quad (4)$$

Из второго уравнения получим наиболее общий вид кильватерного потенциала:

$$\Psi(\xi, r) = \int_0^r \frac{dy}{y} \int_0^y xS(\xi, x)dx + \Psi_0(\xi) = I(\xi, r) + \Psi_0(\xi). \quad (5)$$

Чтобы определить I и Ψ_0 в каждой области плазменной полости, начнем с самой простой, а именно области нейтральной плазмы. В ней $\Psi = 0$ и $r > r_b$, т.е. $\Psi_0 = -I$. Поскольку I является радиальным интегралом по всем внутренним областям, то $I = I_1 + I_2$, где

$$I_1(\xi, r) = \lim_{\epsilon \rightarrow 0} \int_0^{r_b-\epsilon} \frac{dy}{y} \int_0^y xS(\xi, x)dx, \quad (6)$$

$$I_2(\xi, r) = \lim_{\epsilon \rightarrow 0} \int_{r_b-\epsilon}^r \frac{dy}{y} \int_0^y xS(\xi, x)dx. \quad (7)$$

Из уравнений (2) и (3) следует, что

$$I_1 = \int_0^{r_b} \frac{S_1(y)}{y} dy, \quad I_2(\xi, r) = -c_0 \int_{r_b}^r \frac{dy}{y} = 0, \quad (8)$$

тогда

$$\Psi_0(\xi) = -I_1 = \int_0^{r_b} \frac{S_1(y)}{y} dy, \quad (9)$$

Внутри плазменной полости $I = \int_0^r S_1(\xi, y)y^{-1}dy$. Подводя итог, имеем

$$\Psi(\xi, r) = - \int_r^{r_b} \frac{S_1(y)}{y} dy \quad (10)$$

для $r \leq r_b$ и $\Psi(\xi, r) = 0$ для $r > r_b$. Если сравнить выражение (10) для кильватерного потенциала с найденным в [8], то видно, что они практически идентичны, за исключением того, что функция β в [8], зависящая от толщины электронного слоя, в (10) отсутствует. Поскольку радиальная компонента векторного потенциала в нашей теории

$$A_r(\xi, r) = r\sigma(\xi) = -\frac{r}{2} \frac{d\Psi_0(\xi)}{d\xi} \quad (11)$$

также является производной от Ψ_0 , то вычисления существенно упрощаются. Далее,

$$\frac{d\sigma}{d\xi} = \frac{S_1(r_b)}{2r_b} r_b'' + \frac{s_{\text{ion}}(r_b)}{2} (r_b')^2 - \frac{S_1(r_b)}{2r_b^2} (r_b')^2, \quad (12)$$

что приводит к следующему дифференциальному уравнению для огибающей плазменной полости:

$$A(r_b)r_b'' + B(r_b)(r_b')^2 + C(r_b) = \frac{\Lambda(\xi)}{r_b}. \quad (13)$$

Здесь $r_b'(\xi) = dr_b(\xi)/d\xi$; $r_b''(\xi) = d^2r_b(\xi)/d\xi^2$;

$$A = 1 - \frac{S_1}{2}; \quad B = -\frac{s_{\text{ion}}(r_b)r_b}{2}; \quad C = -\frac{S_1}{r_b}, \quad (14)$$

$$\Lambda(\xi) = - \int_0^{r_b} J_z(\xi, r')r'dr' \quad (15)$$

является интегралом от продольной плотности тока, созданного электронными сгустками.

В более общей теории Голованова и др. [14] рассмотрено упрощенное дифференциальное уравнение для электронного слоя конечного размера с источником $S(r > r_b) = s_0(\xi)g[(r - r_b)/\Delta]$. Показано, что в общем случае существуют два приближения, в рамках которых решение этого дифференциального уравнения не зависит от толщины Δ и профиля g электронного слоя. Области применимости этих приближений оказываются подобными для различных профилей. Можно показать, что при использовании прямоугольного профиля электронного слоя $g(x) = \theta(1 - x)$, где $\theta(x)$ – степ-функция Хевисайда, при малых Δ отличие точных значений (полученных численно) коэффициентов A, B, C от их приближенных значений в рамках приближения бесконечно тонкого слоя малы (рис.2).

В целом, авторы [14] выделяют два класса приближений тонкого слоя: приближение бесконечно тонкого слоя и релятивистское приближение. В первом случае $\Delta \rightarrow 0$, так что справедливо соотношение $\Delta \ll |r_b/(S_1(r_b)M_1(0))|$, где

$$M_1(x) = \int_x^\infty yg(y)dy. \quad (16)$$

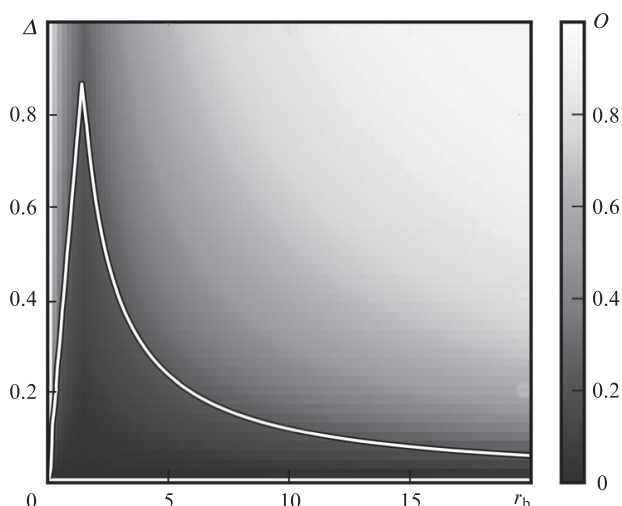


Рис.2. Максимальное относительное отличие O коэффициентов A , B и C , вычисленных в приближении бесконечно тонкого слоя, от их точных значений, полученных численно, в пространстве параметров r_b и Δ для прямоугольного профиля электронного слоя и случая однородной плазмы. Сплошная линия соответствует уровню 0.25.

Во втором случае выполняется соотношение $\Delta \gg |r_b/(S_1(r_b)M_1(0))|$, которое физически соответствует тому, что электроны в слое на границе полости являются релятивистскими (поэтому это приближение и называется релятивистским).

Если сравнить полученные в настоящей работе выражения для коэффициентов (14) с полученными в работе [14], то видно, что наше предположение о двумерности электронного слоя соответствует первому приближению (приближению бесконечно тонкого слоя). Наше предположение также эквивалентно выбору $g(x) = \delta(x)$, для которого $M_1(0) = 0$, и поэтому критерий $\Delta \ll |r_b/(S_1(r_b)M_1(0))|$ всегда выполнен.

Релятивистское приближение $\Delta \gg |r_b/(S_1(r_b)M_1(0))|$, $\Delta \ll r_b$, в котором коэффициенты $A = -S_1/2$ и $C = -S_1/(2r_b)$, не может быть получено в рамках нашего рассмотрения. Таким образом, область применимости приближения дельта-слоя ограничена областью параметров, показанных темным цветом на рис.2. Однако, поскольку для любого заданного значения Δ можно найти достаточно большой размер плазменной полости r_b , для которого релятивистское приближение будет выполнено, оно часто находится в хорошем соответствии с результатами PIC-моделирования. Поэтому имеет смысл найти способ преобразовать уравнение (13) с коэффициентами (14) в уравнение в релятивистском приближении, для которого $C = -S_1/(2r_b)$.

Такое преобразование возможно путем изменения масштаба продольной координаты $\xi \rightarrow \tilde{\xi}/\sqrt{2}$ и замены $r_b(\xi) \rightarrow r_b(\tilde{\xi})$ и $A(\xi) \rightarrow 2\tilde{A}(\tilde{\xi})$. Тогда $r'_b(\xi) \rightarrow \sqrt{2}r'_b(\tilde{\xi})$, $r''(\xi) \rightarrow 2r''(\tilde{\xi})$, и уравнение (13) для электронного слоя принимает вид

$$\left[1 - \frac{S_1(\tilde{\xi})}{2}\right]r''_b(\tilde{\xi}) - \frac{s_{\text{ion}}(\tilde{\xi})r_b(\tilde{\xi})}{2}(r'_b(\tilde{\xi}))^2 - \frac{S_1(\tilde{\xi})}{2r_b(\tilde{\xi})} = \frac{\tilde{A}(\tilde{\xi})}{r_b(\tilde{\xi})}, \quad (17)$$

что совпадает с результатом для релятивистского приближения в случае $|S_1| \gg 1$.

3. Заключение

В работе показано, что предположение о наличии бесконечно тонкого двумерного электронного слоя на границе плазменной полости соответствует нерелятивистскому пределу модели с электронным слоем конечного размера. Поскольку большая часть результатов PIC-моделирования соответствует релятивистскому приближению для электронного слоя конечного размера в [14], то наш подход допускает переход к более подходящей модели путем изменения масштаба оси ξ . Количественные отличия результатов, полученные с использованием нашей модели и модели с конечным размером слоя, показывают, что область параметров, для которой наша модель справедлива, мала. В то же время она является самой простой моделью плазменной полости в поперечно-неоднородной плазме.

Настоящая работа в рамках разработки аналитической модели частично поддержана РФФИ (грант № 16-12-10383(И.Ю.К. и А.А.Г.)), а также EU FP7 (проект EUCARD-2), Правительством РФ (проект № 14.B25.31.0008) и Программой Президиума РАН «Экстремальное лазерное излучение: физика и фундаментальные приложения».

1. Tajima T., Dawson J.M. *Phys. Rev. Lett.*, **43**, 267 (1979).
2. Chen P., Dawson J., Huff R., Katsouleas T. *Phys. Rev. Lett.*, **54** (1985), 693 (1985).
3. Pukhov A., Meyer-ter Vehn J. *Appl. Phys. B*, **74**, 355 (2002).
4. Rosenzweig J., Breizman B., Katsouleas T., Su J. *Phys. Rev. A*, **44**, R6189 (1991).
5. Mora P., Antonsen T.M. Jr. *Phys. Rev. E*, **53**, R2068 (1996).
6. Leemans W.P. et al. *Nature Phys.*, **2**, 696 (2006).
7. Blumenfeld I. et al. *Nature*, **44**, 741 (2007).
8. Thomas J. et al. *Phys. Plasmas*, **23**, 053108 (2016).
9. Gordienko S., Pukhov A. *Phys. Plasmas*, **12**, 043109 (2005).
10. Pukhov A., Gordienko S. *Phil. Trans. R. Soc. A*, **364**, 623 (2006).
11. Jansen O., Tückmantel T., Pukhov A. *Eur. Phys. J. Spec. Top.*, **223**, 1017 (2014).
12. Schroeder C. B., Esarey E., Benedetti C., Leemans W. *Phys. Plasmas*, **20**, 080701 (2013).
13. Pukhov A. et al. *Phys. Rev. Lett.*, **113**, 245003 (2014).
14. Голованов А.А., Костюков И.Ю., Пухов А.М., Томас Й. *Квантовая электроника*, **46**, 295 (2016).
15. Golovanov A.A., Kostyukov I.Yu., Thomas J., Pukhov A. *Phys. Plasmas*, **23**, 093114 (2016).
16. Sprangle P., Esarey E., Krall J., Joyce G. *Phys. Rev. Lett.*, **69**, 2200 (1992).
17. Geddes C. et al., *Nature*, **431**, 538 (2004).
18. Lu W. et al. *Phys. Rev. Lett.*, **96**, 165002 (2006).
19. Yi S.A., Khudik V., Siemon C., Shvets G. *Phys. Plasmas*, **20**, 013108 (2013).
20. Kostyukov I., Nerush E., Pukhov A., Seredov V. *Phys. Rev. Lett.*, **103**, 175003 (2009).
21. Thomas J., Pukhov A., Kostyukov I. Yu. *Laser and Particle Beams*, **32**, 277 (2014).
22. Mora P., Antonsen T.M. Jr. *Phys. Plasmas*, **4**, 217 (1997).